

**SIMULAÇÃO DE CICLOS DE REFRIGERAÇÃO POR  
ADSORÇÃO SÓLIDA COM ENERGIA SOLAR.  
II. ESTUDO COMPARATIVO ENTRE OS PARES ZEÓLITA  
13x/ÁGUA E CARVÃO ATIVO AC-35 / METANOL**

João Francisco ESCOBEDO\*  
Evandro Ferreira PASSOS\*\*  
Marco Antonio de REZENDE\*

**RESUMO:** Uma simulação numérica do ciclo de refrigeração a adsorção foi realizada para os pares zeólita 13x/água e carvão ativo AC-35/metanol. O coeficiente de *performance* térmico (COPTERM) e o rendimento exergético ( $\eta_{EXERG}$ ) calculado em função das temperaturas de operação ( $T_{DES}$ ;  $T_{ADS}$ ;  $T_{EV}$  e  $T_{COND}$ ) da máquina frigorífica mostraram que o par zeólita 13x/água é superior ao par carvão ativo AC-35/metanol para condições de operação pouco favoráveis: condensação a ar ou difícil resfriamento noturno. A teoria prevê um ótimo de funcionamento para o par zeólita 13x/água a temperaturas elevadas e temperaturas menos elevadas para o par carvão ativo AC-35/metanol. Neste caso, o sistema de captação solar indicado para o par zeólita 13x/água é o de concentração, enquanto para carvão ativo AC-35/metanol, o sistema de captação é o plano sofisticado com revestimento seletivo.

**■ UNITERMOS:** Simulação; zeólita 13x/água; carvão ativo/metanol.

## Introdução

Desde o final da década de 1970, vários pesquisadores vêm procurando através de simulações otimizar a máquina de refrigeração por adsorção sólida para produzir frio com radiação solar. A maior parte das realizações citadas na literatura provém do grupo de Meunier et al. na França.

Os primeiros trabalhos foram divulgados a partir de 1980. Guilleminot & Meunier<sup>8</sup> apresentaram um estudo teórico da máquina operando com um coletor solar plano e simularam a *performance* de vários pares adsorvente/adsorvato. Em 1982, Delgado et al.<sup>2</sup> apresentaram também um estudo teórico do ciclo intermitente a adsorção usando carvão ativo/metanol. O esquema da máquina apresentada é semelhante ao refrigerador de Guilleminot & Meunier<sup>3</sup>, que usaram o par zeólita 13x/água, e os

\* Departamento de Física e Biofísica - UNESP - 18610 - Botucatu - SP.

\*\* Departamento de Física da UFRV - 35570 - Viçosa - MG.

resultados mostraram que o par carvão ativo/metanol é bem adaptado para a produção de gelo, operando a uma temperatura de evaporação de -10°C. Neste mesmo ano de 1982, Dupont & Guilleminot<sup>3</sup> introduziram uma modificação no componente de captação solar plano. Um sistema de concentração plano-refletor foi posicionado no coletor plano no sentido leste-oeste. Com isso pôde-se aumentar a potência incidente no absorvedor em pelo menos duas vezes e consequentemente aumentar a temperatura de operação da fonte quente da máquina frigorífica. O par utilizado nesta máquina foi zeólita 13x/água. Grenier, Meunier & Pons<sup>5</sup> realizaram um estudo do par zeólita 13x/água para refrigeração solar em função do tipo de captação da energia solar. Nesta simulação foi estudado, como coletor de radiação, um concentrador cilindro-parabólico de orientação fixa. O sólido poroso seria colocado num tubo posicionado no eixo focal do concentrador. Cálculos teóricos permitiram otimizar o fator de concentração e a massa de zeólita utilizada no tubo focal. Para um fator de concentração igual a 4, o sistema de refrigeração seria capaz de ciclar 140 g de água para cada kg de zeólita.

Os trabalhos mais recentes em refrigeração solar por adsorção foram desenvolvidos por Boubakai<sup>1</sup> e Passos<sup>10</sup>, na Universidade Pierre et Marie Curie (França) e na Ecole Polytechnique de Lausanne (Suíça), respectivamente, como parte de suas teses de doutoramento. Ambos os trabalhos foram realizados com coletores planos e utilizando o par carvão ativado AC-35/metanol.

A fim de se verificar qual o par frigorífico que melhor se adapta às condições climáticas do Brasil, o objetivo deste trabalho foi simular uma máquina frigorífica usando os pares zeólita 13x/água e carvão ativo AC-35/metanol, comparar os desempenhos e indicar o sistema de captação solar apropriado para cada par<sup>4</sup>.

### Simulação do ciclo

O cálculo, ilustrado pelo fluxograma da Figura 1, é feito em duas partes, correspondendo aos trechos isostérico (A-B) e isobárico (B-C) da Figura 2 (Parte I deste trabalho). Os trechos C-D e D-A não entram nos cálculos, pois não estamos interessados no aproveitamento do calor de adsorção.

### Trecho A-B

a) O sistema parte da temperatura  $T_{ADS}$  e da pressão  $P_{EV}$ , calculada no ponto A como sendo a pressão de saturação do fluido correspondente à temperatura  $T_{EV}$ . Utilizando a equação de estado

$$a(P \cdot T) = \rho(T) \exp \left[ -D \left( T \ln \frac{P_s}{P} \right)^n \right] \quad (1)$$

calcula-se a concentração  $a_o = f(T_{ADS}, P_{SAT}(T_{EV}))$  que permanecerá constante neste trecho.

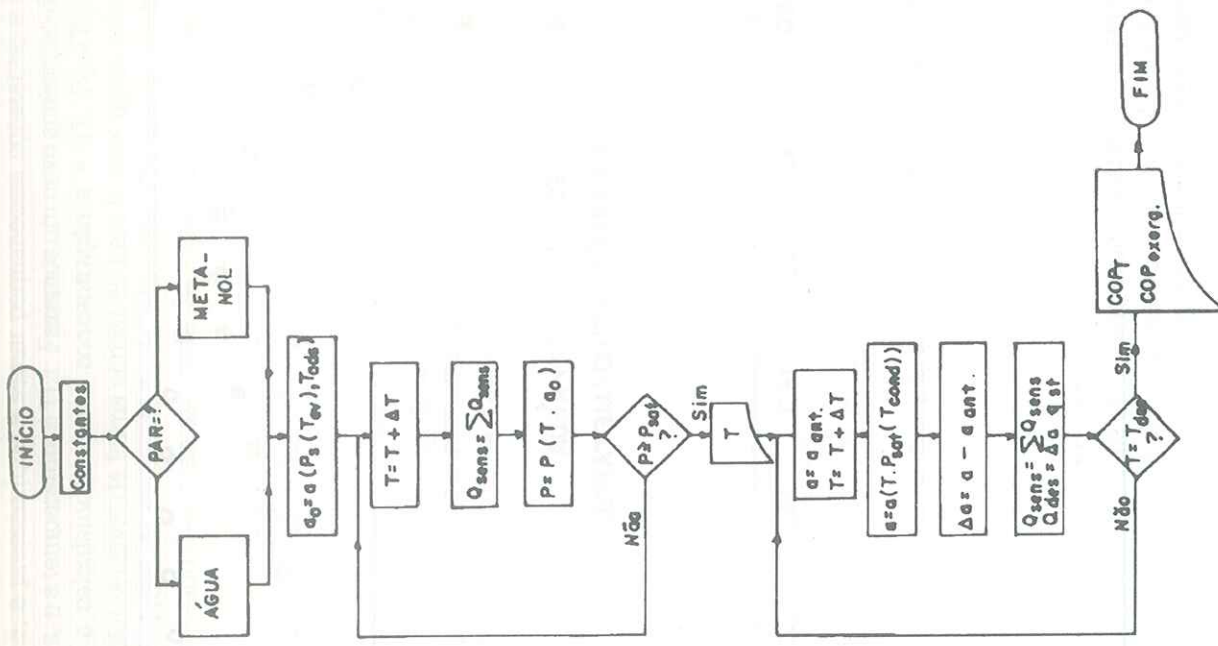


FIGURA 1 – Fluxograma.

## Trecho B-C

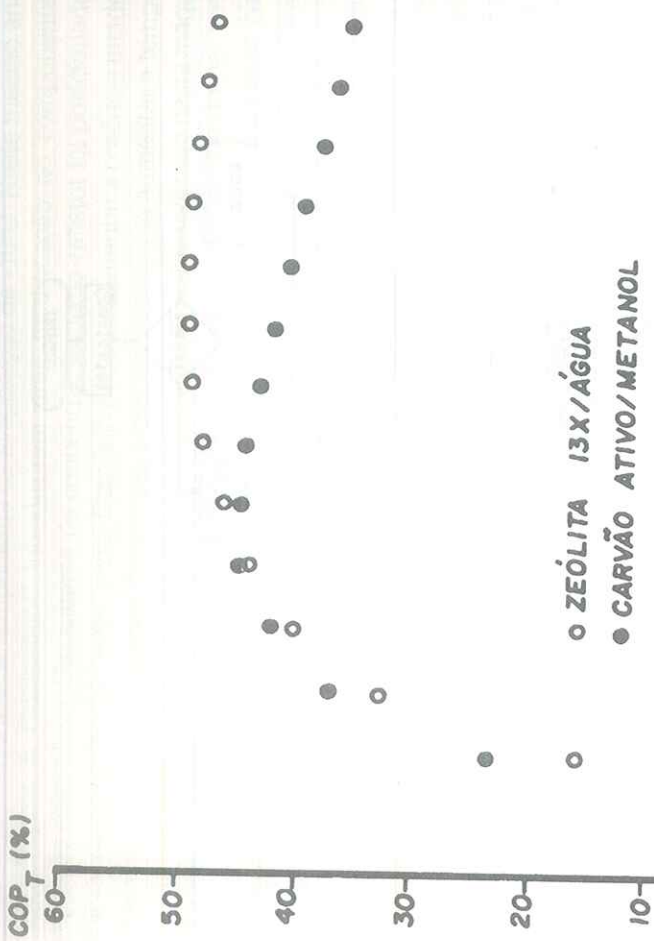


FIGURA 2 – Coeficiente de performance térmico do ciclo de refrigeração em função da temperatura  $T_{DES}$  para  $T_{EV} = 0^\circ\text{C}$ ,  $T_{COND} = T_{ADS} = 35^\circ\text{C}$ .

- d) No ponto B, a pressão (que a seguir permanecerá constante) é  $P_{SAT}(T_{COND})$ , a concentração é  $a_o$  e a temperatura é  $TL_1$ . Fazemos um novo acréscimo de temperatura  $T = TL_1 + \Delta T$  e calculamos a nova concentração  $a = f(T, P_{SAT}(T_{COND}))$ . A seguir calculamos o calor sensível de forma similar ao item b, mas agora levando em conta a diminuição gradativa da massa de fluido adsorvido. Calcula-se também o calor de dessorção como sendo  $Q_{DES} = \Delta a q_{ST}$ , onde  $q_{ST}$  é calculado pela equação:

$$q_{st} = L + RT \ln \frac{P_s}{P} + \frac{\alpha R}{nD} \left( \ln \frac{P_s}{P} \right) \quad (2)$$

- e) A seguir é feito o teste  $T = T_{DES}$ ? Caso negativo, novo incremento de temperatura é feito e os calores sensível e de dessorção, bem como  $\Delta a$ , vão sendo integrados. Quando  $T = T_{DES}$ , o programa é interrompido e os diferentes COPs são calculados com base nos valores integrados  $Q_{SENS}$ ,  $Q_{DES}$ ,  $Q_{TERM}$  e  $\Delta a$ , através das equações:

$$\text{COP}_{TERM} = \frac{\Delta a \cdot L}{Q_{SENS} + Q_{DES}} \quad (3)$$

$$\eta_{EXERG} = \frac{\text{COP}_{TERM}}{\text{COP}_{CARNOT}} \quad (4)$$

As temperaturas utilizadas no cálculo do COP CARNOT são  $T_{ADS}$ ,  $T_{COND}$ ,  $T_{EV}$  e  $T_{DES}$  e os valores numéricos utilizados nas simulações foram<sup>1, 6, 7</sup>:

par zeólita-água:  $W_0 = 269 \cdot 10^{-6} \text{ m}^3/\text{kg}$

$$D = 4,15 \cdot 10^{-7}$$

$$n = 2$$

par carvão ativo AC-35/metanol:  $W_0 = 407 \cdot 10^{-6} \text{ m}^3/\text{kg}$

$$D = 3,22 \cdot 10^{-7}$$

$$n = 2,195$$

- calor específico da água =  $4,18 \text{ kJ/kg}^\circ\text{C}$
  - calor específico do metanol =  $2,6 \text{ kJ/kg}^\circ\text{C}$
  - calor específico da zeólita =  $0,92 \text{ kJ/kg}^\circ\text{C}$
  - calor específico do carvão ativo =  $0,92 \text{ kJ/kg}^\circ\text{C}$
  - calor latente de vaporização da água ( $0^\circ\text{C}$ ) =  $2498 \text{ kJ/kg}$
  - calor latente de vaporização do metanol ( $0^\circ\text{C}$ ) =  $645 \text{ kJ/kg}$
- As massas do sólido poroso foram iguais a 1 kg para todos os cálculos. Igualmente a capacidade calorífica das partes metálicas foi a mesma:  $1,05 \text{ kJ/kg}^\circ\text{C}$  de sólido poroso. Os incrementos de temperatura utilizados nos cálculos do ciclo foram de
- b) A seguir fazemos um incremento na temperatura  $T_1 = t_{ADS} + \Delta T$ . Calculamos com ajuda da equação de estado a nova pressão do sistema como  $P = f(T_2, a_o)$ . O calor sensível envolvido devido à variação da temperatura será  $Q_i = M_i C_i \Delta T$ , onde o índice refere-se aos componentes metálico, sólido poroso e fluido frigorífico.
- c) A seguir é feito o teste  $P = P_{SAT}(T_{COND})$ ? Caso negativo, voltamos ao início do item b fazendo novo acréscimo de temperatura  $T_2 = T_1 + \Delta T$  e assim sucessivamente até que o teste tenha resposta positiva. Neste caso, a temperatura do sistema é igual a  $TL_1$  (ponto B do ciclo). O calor sensível  $Q_s$  vai sendo integrado ao longo do trecho A-B.

$\Delta T = 5^\circ\text{C}$  e as equações usadas na obtenção das pressões de saturação de condensação e evaporação para os dois fluidos frigoríficos foram:

$$\text{Água: } \text{Log}10 P_s = 7,825 - 1602,65/T - 103979,9/T^2$$

$$\text{Metanol: } \text{Log}10 P_s = 7,509 - 1004,57/T - 246199/T^2 + 191914/T^3 \text{ com } T \text{ em Kelvin e } P_s \text{ em Torr.}$$

As equações das densidades para os dois fluidos foram:

$$\text{Água: } (T) = 667,141 + 2,8366775 T - 6,98532 \cdot 10^{-3} T^2 + 3,95558 \cdot 10^{-6} T^3 \text{ (kg/m}^3\text{)}$$

$$\text{Metanol: } (T) = 1,283,31 - 3,338863T + 8,651651 \cdot 10^{-3} T^2 - 1,0165518 \cdot 10^{-5} T^3 \text{ (kg/m}^3\text{)} \text{ com } T \text{ em Kelvin.}$$

### Comparação dos COP térmicos

Apresentamos nesta seção os resultados dos cálculos numéricos descritos na seção precedente. A Figura 2 mostra o COP<sub>TERM</sub> em função da temperatura máxima de dessorção T<sub>DES</sub>. A temperatura mínima de adsorção, bem como as temperaturas de condensação e evaporação, foram fixadas em: T<sub>ADS</sub> = T<sub>COND</sub> = 35°C, T<sub>EV</sub> = 0°C, para os dois pares.

A Figura 3 mostra os COP<sub>TERM</sub> para os mesmos pares, mas com as temperaturas de adsorção e condensação maiores: T<sub>EV</sub> = 0°C, T<sub>ADS</sub> = T<sub>COND</sub> = 45°C.

Pode-se observar pelas duas Figuras que o COP do ciclo zeólita-13x/água é superior ao do ciclo carvão ativo AC-35/metanol para temperaturas de dessorção acima de 110°C. Para temperaturas inferiores, há uma pequena vantagem para o carvão ativo, e a diferença é mais acentuada para a menor temperatura de condensação.

As duas Figuras mostram ainda que o COP dos pares diminui com o acréscimo da temperatura do condensador, dentro de todo o intervalo de variação de T<sub>DES</sub>. O par zeólita 13x/água é o menos afetado, principalmente para temperaturas de dessorção acima de 120°C, onde o decréscimo do COP é menos acentuado. Esses resultados mostram que o par zeólita 13x/água está mais adaptado que o par carvão ativo AC-35/metanol, para uso em máquinas operando com condensadores resfriados por convecção natural.

A Figura 4 mostra o COP<sub>TERM</sub> em função da temperatura mínima T<sub>ADS</sub>, fixando-se T<sub>DES</sub> = 110°C, temperatura em que os dois pares apresentaram os mesmos rendimentos nas Figuras 2 e 3. A temperatura do evaporador T<sub>EV</sub> foi fixada em 0°C e a de condensação T<sub>COND</sub> foi feita igual a T<sub>ADS</sub>. Os resultados mostram que os COP decrescem com o aumento das temperaturas T<sub>ADS</sub> e T<sub>COND</sub> quase que igualmente para os dois pares.

A Figura 5 é similar à Figura 4, exceto pela temperatura T<sub>DES</sub>, que foi fixada em 150°C. Observa-se que a vantagem do par zeólita 13x/água conserva-se em todo o intervalo de variação de T<sub>ADS</sub>.

FIGURA 2 – Coeficiente de performance térmico do ciclo de refrigeração em função da temperatura T<sub>DES</sub> para T<sub>EV</sub> = 0°C, T<sub>COND</sub> = T<sub>ADS</sub> = 45°C.

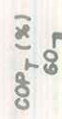


FIGURA 3 – Coeficiente de performance térmico do ciclo de refrigeração em função da temperatura T<sub>DES</sub> para T<sub>EV</sub> = 0°C, T<sub>COND</sub> = T<sub>ADS</sub> = 45°C.

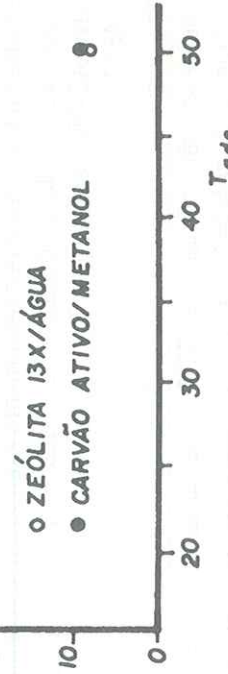


FIGURA 4 – Coeficiente de performance térmico em função de T<sub>DES</sub> = 110°C e T<sub>EV</sub> = 0°C.

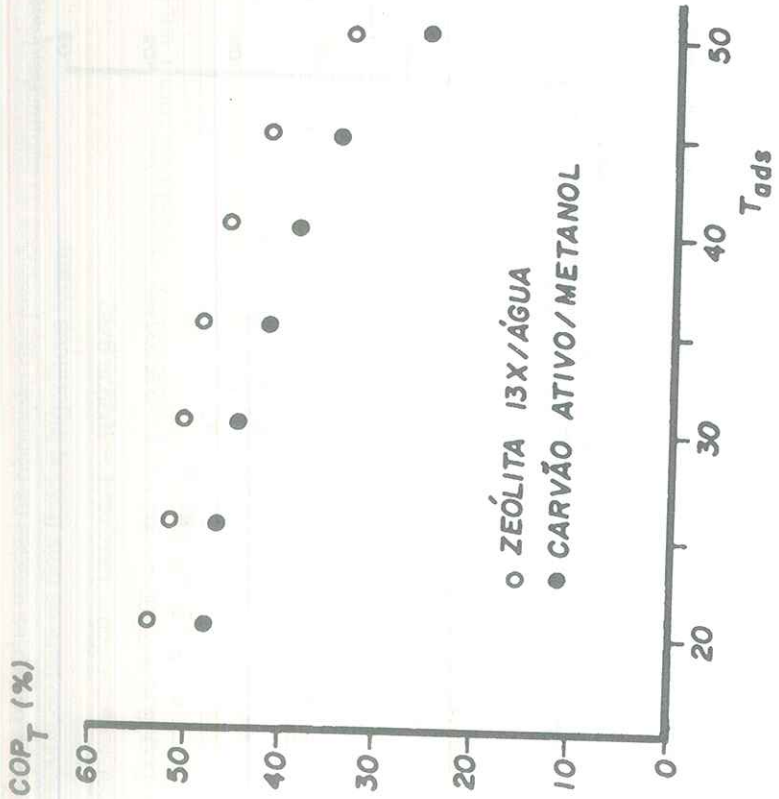


FIGURA 5 – Coeficiente de performance térmico em função de  $T_{ADS}$  para  $T_{DES} = 150^{\circ}\text{C}$  e  $T_{EV} = 0^{\circ}\text{C}$ .



FIGURA 6 – Rendimento exergético em função da temperatura máxima  $T_{DES}$  com  $T_{COND} = T_{ADS} 35^{\circ}\text{C}$ .

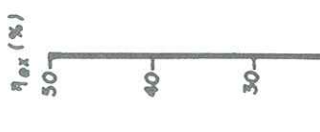


FIGURA 7 – Rendimento exergético em função da temperatura máxima  $T_{DES}$  com  $T_{COND} = T_{ADS} 45^{\circ}\text{C}$ .

### Comparação dos rendimentos exergéticos

As Figuras 6 e 7 mostram os rendimentos exergéticos para os pares zeórita 13x/água e carvão ativo AC-35/Metanol em função das temperaturas de dessorção, com as seguintes temperaturas fixas:  $T_{EV} = 0^{\circ}\text{C}$ ,  $T_{COND} = 35^{\circ}\text{C}$  para Figura 6 e  $T_{EV} = 0^{\circ}\text{C}$ ,  $T_{COND} = 45^{\circ}\text{C}$  para a Figura 7.

Observa-se pelas duas curvas que o rendimento exergético apresenta um máximo, sendo que  $\eta_{EXERG}$  máximo do ciclo zeórita 13x/água é inferior a  $\eta_{EXERG}$  máximo do ciclo carvão ativo AC-35/metanol para  $T_{COND} = T_{AS} = 35^{\circ}\text{C}$  e superior para condições  $T_{COND} = T_{ADS} = 45^{\circ}\text{C}$ .

Pelas Figuras, esses valores situam-se na faixa de 30% para os dois pares. Para temperaturas de dessorção inferiores a  $100^{\circ}\text{C}$ , o rendimento do par carvão ativo é superior ao rendimento da zeórita 13x/água. Para  $T_{DES} > 100^{\circ}\text{C}$ , o par zeórita 13x/água é superior ao par carvão ativo AC-35/metanol, principalmente nas condições em que as temperaturas  $T_{ADS}$  e  $T_{COND}$  são elevadas.

Fazendo uma correlação entre  $\eta_{ex}$  máximo obtido como nas Figuras 6 e 7 e a diferença de temperatura (temperature lift)  $\Delta T = T_{cond} - T_{ev} = T_{cond} - T_E$  para os pares zeótila 13x/água e carvão ativo AC-35/metanol, obtém-se a curva representada na Figura 8. A diferença de temperatura  $\Delta T = T_{cond} - T_{ev}$  dá uma medida da dificuldade de se obter frio. Cada ponto da curva corresponde, para um dado  $\Delta T$ , ao máximo da curva  $\eta_{ex}$  max ( $T_{ex}$ ). Observa-se que o rendimento para o carvão ativo é decrescente até  $\Delta T = 30^\circ\text{C}$ , onde atinge um ponto de máxima, decrescendo a seguir rapidamente, e o rendimento do par zeótila 13x-água é crescente até  $\Delta T = 45^\circ\text{C}$ , onde atinge um máximo, decrescendo muito lentamente até  $60^\circ\text{C}$ .

Para diferenças de temperaturas  $\Delta T < 35^\circ\text{C}$ , o rendimento do par carvão ativo-metanol é superior ao do par zeótila-água. Para  $\Delta T > 40^\circ\text{C}$ , ou seja, em condições de operação pouco favoráveis (condensador a ar, difícil resfriamento noturno do coletor), o par zeótila 13x/água apresenta maiores rendimentos.

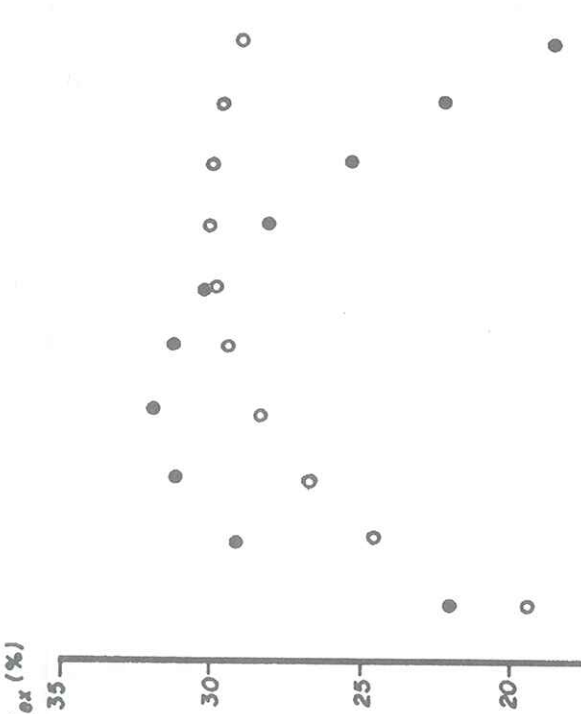


FIGURA 8 – Rendimento exergético em função da diferença  $\Delta = T_{cond} - T_{ev}$ .

## Escolha do sistema de captação solar

A Tabela 1, elaborada por um grupo de especialistas num estudo encomendado pelo Banco Mundial<sup>9</sup>, constitui uma síntese muito valiosa dos custos, eficiência e temperaturas de operação, pois permite uma comparação entre os coletores planos, coletores especiais/baixa concentração e concentradores de foco linear.

Tabela 1 – Custos, eficiências e temperaturas de operação dos coletores solares

Tipo de coletor	Temperatura °C	US\$/m <sup>2</sup>	Eficiência (%) (%)
Coletor plano	$T < 80$	80	30-60
Plano com concentração ou seletivo com duplo vidro	$T < 120$	150	30-60
Concentrador de foco linear com rastreamento, $RC < 50$	$150 < T < 300$	200	30-60

Somos da opinião que a Tabela 1 indica com boa precisão os custos atuais e que estes podem ser aplicados no Brasil sem alterações significativas. A razão principal de os custos ainda estarem elevados deve-se ao fato de que estes tipos de captores não foram tão pesquisados quanto o tipo plano simples, por exemplo. As pesquisas com tais sistemas caminham atualmente neste sentido e existe uma expectativa de se atingir uma redução de 50% nestes custos através de projetos mais bem elaborados.

Como foi visto nas Figuras da seção anterior, o ciclo zeótila 13x/água opera com temperaturas ótimas superiores a  $140^\circ\text{C}$ . As realizações experimentais com coletores do tipo especial estudadas por Guilleminot, Meunier<sup>7</sup> e Tchernev<sup>11</sup> mostram que as temperaturas atingidas por estas máquinas frigoríficas não atingem o nível de temperatura ótimo para regeneração da zeótila. Como consequência, temos uma pequena quantidade de fluido refrigerante ciclano dentro da máquina (menos de 15% do total adsorvido e potencialmente disponível para a refrigeração). A solução encontrada por Tchernev<sup>11</sup> em compensar esta limitação com o aumento da massa de sólido adsorvente no coletor encareceu o custo da máquina frigorífica. Para nosso país esta alternativa não é boa, pois a zeótila ainda é importada e cara, muito embora exista a perspectiva de redução dos custos com a produção, em escala comercial.

Uma análise mais atenta dos custos e dos intervalos de temperatura dos dois tipos de coletores (planos com revestimento seletivo e concentrador de foco linear) mostra que a diferença de 50% US\$/m<sup>2</sup> é pouco significante diante do grande acréscimo da temperatura de operação. A utilização de concentradores de foco linear não deve ser

descartada, sobretudo se forem minimizados os custos dos dois principais fatores que encarecem a construção destes concentradores: o sistema de rastreamento do Sol e o sistema de transferência do calor.

As Figuras da seção anterior mostram ainda que o ciclo carvão AC-35/metanol opera com temperaturas ótimas no intervalo de 110°C a 130°C. Neste caso, os coletores planos sofisticados, com revestimento seletivo e dupla cobertura de vidro, são o sistema de captação solar indicado pois sua temperatura de operação é de 120°C, aproximadamente.

O grupo de pesquisas de Meunier & Guilleminot, a partir de 1984, tem se dedicado ao estudo do par carvão ativo AC-35/metanol, cujos resultados têm-se mostrado mais promissores que o par zeólita 13x/água para coletores planos sofisticados.

## Conclusões

A partir de um critério de escolha baseado na 2<sup>a</sup> lei da Termodinâmica, verifica-se que o par zeólita 13x/água é superior ao par carvão ativo AC-35/metanol para condições de operação pouco favoráveis (condensação a ar). Neste caso, a teoria prevê um ótimo de funcionamento para temperaturas elevadas e o sistema de captação solar indicado é o de concentração solar, onde as temperaturas de operação atingem de 150°C a 300°C. O par carvão ativo AC-35/metanol é indicado para condições de operação mais favoráveis (condensação à água, bom resfriamento noturno) e para baixas temperaturas de regeneração. O sistema de captação solar indicado para o par carvão ativo AC-35/metanol é aquele dos coletores planos sofisticados com revestimentos seletivos, cujas temperaturas de operação são da ordem de 120°C, aproximadamente.

## Referências bibliográficas

- ABSTRACT:** This paper presents a numerical simulation of the refrigeration cycle through adsorption carried out with zeolite 13x/water and active coke AC-35/methanol pairs. The thermal performance coefficient (COP<sub>TERM</sub>) and the exergetic efficiency (HEX<sub>RC</sub>) obtained in accordance to the freezing machine operation temperatures showed that the zeolite 13x/water pair is better than the active coke AC-35/methanol pair for less favourable operation conditions: air condensation or difficult night cooling. Theoretical results indicate a optimum performance for zeolite 13x/water pair when high temperature is prevalent, but for lower temperatures better performance is obtained by active coke AC-35/methanol. In this case, the solar collection system for the zeolite 13x/water pair is by concentration, while for active coke AC-35/methanol the collection system is sofisticated plane with selective coat.
- KEYWORDS:** Simulation, zeolite 13x/water; active coke/methanol.
1. BOUBAKAI, R. *Determination des caractéristiques thermodynamiques du couple charbon actif AC-35/methanol et étude de son application à la réfrigération solaire*. Paris, 1985. Tese (Doutorado) – Université Pierre et Marie Curie.
  2. DELGADO, R. et al. Étude du cycle intermittent charbon actif-méthanol en vue de la réalisation d'une machine fabriquer de la glace fonctionnant à l'énergie solaire. *Proceedings IIR*, Jerusalem, 1982. p. 185-191.
  3. DUPONT, M., GUILLEMINOT, J. J., MEUNIER, F. et al. Étude de glacières solaires utilisant le cycle intermittent jour-nuit zeolithe 13x-eau en climat tempéré et en climat tropical. *Proceedings IIR*, Jerusalem, 1982. p. 193-200.
  4. ESCOBEDO, J. F. *Refrigeração com uso de Energia Solar*. São Carlos, 1987. 185p. Tese (Doutorado) – Instituto de Física de São Carlos, Universidade de São Paulo.
  5. GRENIER, P., GUILLEMINOT, J. J., PONS, M. Les différentes possibilités d'application du couple zeolithe 13x-eau pour le froid solaire en fonction du type de captation de l'énergie solaire. *Proceedings IIR*, Jerusalém, 1982. p. 201-8.
  6. GUILLEMINOT, J. J. Dijon, 1978. Tese (Doutorado).
  7. GUILLEMINOT, J. J., MEUNIER, F. *Rev. Gen. Therm.*, v. 239, p. 825, 1981.
  8. GUILLEMINOT, J. J., MEUNIER, F., MISCHLER, B. *Rev. Phys. Appl.* v. 15, p. 441, 1980.
  9. LIMA, W. O desenvolvimento tecnológico dos coletores de energia solar. In: SIMPÓSIO SOBRE ENERGIA SOLAR, 2, 1981. Anais... ACIESP, n. 28, p. 15-20.
  10. PASSOS, E. F. *Étude des couples charbon actif/methanol et de leur application 1a. refrigeration solaire*. Lausanne, 1986. Tese (Doutorado) – Ecole Polytechnique Federale de Lausanne, Suisse. n. 624.

11. TCHERNEV, D. I. Solar air conditioning and refrigeration systems utilizing zeolites, *Proceedings IIR*, Jerusalem, 1982, p. 205-11.

Received August 1992; revised 11 October 1992; accepted 19 January 1993.  
Accepted 19 January 1993.